

## قياس تدفقات النترونات الضوئية على طاولة المعالجة للمسرع الخطي الطبي VARIAN IX

محمد حيدر أحمد<sup>1</sup>، ماجدة عبد المجيد نحيلي<sup>2</sup>، رياض محمد سعيد شويكاني<sup>3</sup>

<sup>1</sup>طالب دراسات عليا (ماجستير) -قسم الفيزياء- كلية العلوم-جامعة دمشق-دمشق-سوريا.

[Muhammad.Ahmad@damascusuniversity.edu.sy](mailto:Muhammad.Ahmad@damascusuniversity.edu.sy)

<sup>2</sup>أستاذ-قسم الفيزياء- كلية العلوم-جامعة دمشق-دمشق-سوريا.

[majeda.nahili@damascusuniversity.ed.sy](mailto:majeda.nahili@damascusuniversity.ed.sy)

<sup>3</sup>أستاذ-قسم الوقاية والأمان-هيئة الطاقة الذرية السورية-دمشق-سوريا.

### الملخص

جرى في هذا البحث قياس تدفقات النترونات الضوئية المرافقة للحزم الفوتونية عالية الطاقة VARIAN IX 18 MV and 23 MV الصادرة عن المسرعين الخطبيين الطبيين من النوع المتوفرين في مستشفى تشرين الجامعي باللاذقية شعبة المعالجة الإشعاعية.

استعمل 40 كاشف من النوع CR-39 مثبتة على عوارض خشبية بشكل متالي وبخطوة 50 cm لقياس التدفقات النترونية الضوئية، حيث وزعت هذه الكواشف بشكل عرضي وطولي على طاولة المعالجة الخاصة بكل مسرع خطبي، واستخدمت الساحة الإشعاعية للمسرع بأبعاد 40×40 cm<sup>2</sup> وضـ.ـ بـطـ.ـ المســافــةــ منــ رــأــســ المــســرــعــ إــلــىــ ســطــحــ طــاــوــلــةــ الــمــعــالــجــةــ لــتــكــونــ

SSD=100 cm ودلــتــ نــتــائــجــ الــقــيــاســ أــنــ قــيــمــةــ تــدــفــقــ النــتــرــوــنــاتــ الضــوــئــيــةــ:

- تكون أعلى ما يمكن في مركز الساحة الإشعاعية حيث بلغت القيمة (n/(cm<sup>2</sup>.Gy) 5.0 × 10<sup>8</sup> لــحــالــةــ الــحــزــمــةــ 23 MV والــقــيــمــةــ 4.8 × 10<sup>8</sup> لــحــالــةــ الــحــزــمــةــ 18 MV

الــحــزــمــةــ 18 MV

- تتناقص بشكل تنازلي غاوصــيــ بــالــنــســبــةــ إــلــىــ الــمــحــورــ الــأــفــقــيــ الــمــارــ مــنــ مــرــكــزــ الســاحــةــ الإــشــعــاعــيــةــ.

- تتجاوزــ فــيــ حــالــةــ الــحــزــمــةــ 23 MV مــثــيلــتــهــ لــحــالــةــ الــحــزــمــةــ 18 MV بمــقــدــارــ 17 %

تاريخ الإيداع: 2023/12/03

تاريخ الموافقة: 2024/02/28



حقوق النشر: جامعة دمشق -

سوريا، يحــفــظــ الــمــؤــلــفــوــنــ بــحــقــوقــ

الــنــشــرــ بــمــوــجــ التــرــخــيــصــ

CC BY-NC-SA 04

**الكلمات المفتاحية:** نترونات ضوئية، تدفق نتروني، كواشف CR-39، مسرع خطبي، حزم فوتونية عالية الطاقة.

## Measurement of photoneutron fluxes on the processing table of two VARIAN IX medical linear accelerators

**Mohamed Haydar Ahmad<sup>1</sup>, Majeda abdalmajed Nohaili<sup>2</sup>, Riyad Muhammad Saeed Shweikani<sup>3</sup>**

<sup>1</sup> Student Postgraduate (Master) - Physics - Faculty of Science - Damascus University - Damascus - Syria.

[Muhammad.Ahmad@damascusuniversity.edu.sy](mailto:Muhammad.Ahmad@damascusuniversity.edu.sy)

<sup>2</sup> Professor - Department of Physics - Faculty of Science - Damascus University - Damascus - Syria.

[majeda.nahili@damascusuniversity.ed.sy](mailto:majeda.nahili@damascusuniversity.ed.sy)

<sup>3</sup> Professor - Department of Prevention and Security - Syrian Atomic Energy Agency - Damascus – Syria [rshweikani@aec.org.sy](mailto:rshweikani@aec.org.sy)

### Abstract

In this research, the fluxes of optical neutrons accompanying the high-energy photon beams 18 MV and 23 MV issued by the two VARIAN IX medical linear accelerators available at Tishreen University Hospital in Lattakia, Radiation Treatment Division, were measured.

40 CR-39 detectors were installed on wooden beams in succession and at a step of 50 cm to measure the optical neutron fluxes. These detectors were distributed transversely and longitudinally on the processing table of each linear accelerator. The irradiation field of the accelerator was used with dimensions of  $40 \times 40 \text{ cm}^2$  and the distance was adjusted from the accelerator head to the surface of the treatment table should be  $\text{SSD}=100\text{cm}$ . The measurement results indicated that the value of the photoneutron flux is:

→ It is highest in the center of the irradiation field, where the value reached  $5.0 \times 10^8 \text{ n}/(\text{cm}^2 \cdot \text{Gy})$  for the 23 MV beam and  $4.8 \times 10^8 \text{ n}/(\text{cm}^2 \cdot \text{Gy})$  for the 18 MV beam.

→ - It decreases in a Gaussian symmetry with respect to the horizontal axis passing through the center of the irradiation square

→ - In the case of the 23 MV package, it exceeds that of the 18 MV package by 17%.

Received :2023/12/03  
Accepted:2024/02/28



Copyright: Damascus University- Syria, The authors retain the copyright under a CC BY-NC-SA

**Key words:** Photoneutrons, neutron flux, CR-39 detectors, linear accelerator, high energy photon beams.

## 1. مقدمة:

بطريقة مشابهة للفوتونات، لا تحمل النيوترونات أي شحنة وبالتالي لا تتفاعل في المادة عن طريق قوة كولوم. وبالتالي تنتقل عبر عدة سنتيمترات من المادة بينما تكون غير مرئية لتقنيات الكشف القائمة على التفاعلات الكهرومغناطيسية. وبالتالي، لا يزال الكشف عن النيوترونات يمثل تحدياً تقنياً في الفيزياء و خاصة في الفيزياء الطبية حيث تكون النيوترونات أحياناً منتجًا ثانوياً للأشعة السينية المتولدة و تعتبر ذات تأثير ثانوي في عملية العلاج الإشعاعي.

يخضع معظم مرضى السرطان لنوع من العلاج الإشعاعي الخارجي (EBRT) باستعمال المسرعات الخطية [1] التي تولد حزم فوتونية عالية الطاقة مستخدمة لتقليص حجم الورم السرطاني وقتل الخلايا السرطانية من خلال إتلاف البنية الجزيئية للحمض النووي [2].

يستخدم المحدد المتعدد الوريقات (MLC) لتشكيل حزم فوتونية تتناسب مع حجم الورم [3-7] وهذا يساهم بتنقليل التعرض الإشعاعي للأنسجة السليمة المحيطة بالورم مع استخدام تقنيات مختلفة نذكر أهمها [8].

- تقنية (3DCRT) (3D Conformal Radiotherapy).
- تقنية (IMRT) (Intensity Modulated Radiotherapy).

على الرغم من دقة هذه التقنيات إلا أن استخدامها يمثل مجموعة من التحديات التقنية للباحثين في مجال الفيزياء الطبية، حيث أن الإشعاع الذي يدمر الخلايا السرطانية وينفذ الأرواح، يمكن أن يتسبب أيضاً في آثار جانبية سلبية للمريض ومنها السرطان [9-11]، ويرتبط هذا بأن تحويل الحزمة الإلكترونية إلى حزمة فوتونية ذات طاقات عالية يتراوح بتلوك نتروني وكذلك أيضاً تشكل نترونات ضوئية تتسبب بجرعة إضافية للمرضى والعاملين [12, 13]. حيث تعاني حسابات حماية المسرع بشكل عام من عدم توفر، المنهجية الداعم المترولوجي لقياسات التدفقات النيوترونية من المسرعات، ونقص التقدير الدقيق لمقدار التدفق النتروني في الغرف الحاوية على مسرع من نوع Varian. من الضروري العمل على حساب التدفقات النترونية بإجراء قياسات واسعة في حقول إشعاع المسرعات الطبية للإلكترون.

لذلك يُجرى العلاج الإشعاعي في غرف خاصة مدرعة مصممة خصيصاً لتقليل تأثير الإشعاعات وبالتالي التعرضات غير المقصودة على الطاقم الطبي والجمهور، تجهز غرف المعالجة المدرعة باتباع واضح وإرشادات صارمة من المنظمات الوطنية أو الدولية:

( National Council on Radiation Protection and Measurements , International Commission on Radiological Protection , International Atomic Energy Agency , Atomic Energy Commission Syria ) التي تتعامل مع الوقاية من الإشعاع. ونظراً لطبيعة النترونات المعدلة بشحنتها وقدرتها العالية على تأمين الأوساط المادية، فإنها تمثل تحدياً متخصصاً في الوقاية الإشعاعية [14].

## غرض البحث:

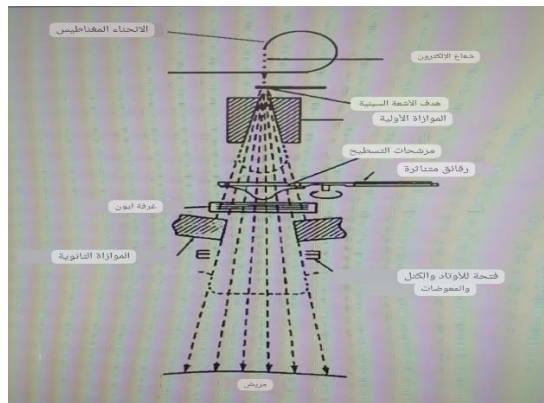
قياس التدفقات النترونية الضوئية على طاولة المعالجة الخاصة بالمسرعين الطبيين الخطبيين من نوع VARIAN IX المشغليين بالطاقيتين 18 MV and 23 MV . (الموجودان في مستشفى تشرين الجامعي باللاذقية - قسم العلاج الإشعاعي ) باستعمال الكواشف 39 - CR.

## 2. الأجهزة والأدوات المستخدمة.

### 1.2 المسرع الخطي الطبي:

استعمل في هذا البحث المسرعين الخطيين الطبيين VARIAN IX المتوفرين في مستشفى تشرين الجامعي باللاذقية لإجراء جميع القياسات. يولد هذان المسرعان حزم فوتونية عالية الطاقة (18 MV) و (23 MV) للأول (SN:5365) وللثاني (SN:4966) على التوالي، وضبط كل من حجم الساحة الإشعاعية

.(SSD = 100 cm) Field Size (40×40 cm<sup>2</sup>) والبعد بين المنبع وسطح الطاولة عند المسافة يوضح الشكل (1.2) مكونات رأس المسرع الخطي، يعبر الخط المنقط عن اتجاه المحور z-axis أما المحور x من يسار إلى يمين الذراع والممحور u موازي لطاولة المعالجة. يتكون رأس المسرع من الهدف والمحددات الأولية والمرشح وحجيرة التأين والمحددات الثانوية.



الشكل: (1.2) مكونات رأس المسرع الخطي فاريان [15]

### 2.2 كواشف الأثر النووي البلاستيكية CR-39

#### 2.2.1 خصائص كاشف الأثر النووي البلاستيكي CR-39

بعد كاشف الأثر النووي البلاستيكي CR-39 كاشفاً مثاليًّا لقياس التدفقات النترونية وجرعاتها. الكاشف CR-39 أو كربونات بولي أيل دي غليوكول (C<sub>12</sub>H<sub>18</sub>O<sub>7</sub>) هو عبارة عن بوليمر متصل بالحرارة، وخصائص الكيميائية يجعله واحداً من أكثر أجهزة كشف الأثار النووية البلاستيكية حساسية من حيث معامل نقل الطاقة الخطي *LET*.

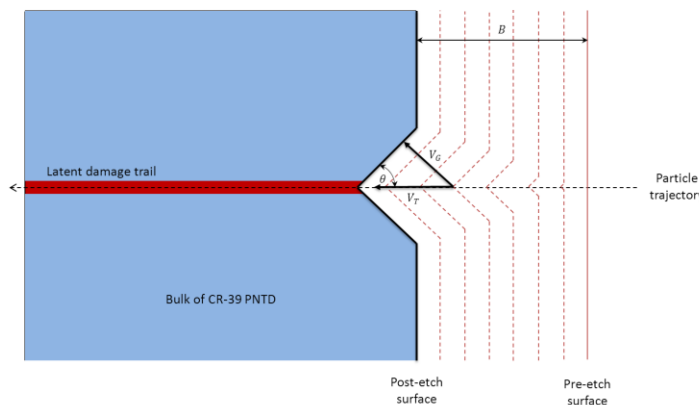
إن الكاشف CR-39 متجانس وشفاف بصرياً وحساس للجسيمات المشحونة التي يقع معامل نقل الطاقة الخطي لها في الماء (LET<sub>∞,H<sub>2</sub>O</sub>) بين 5 و 1500 keV/μm، بما فيها البروتونات ذات الطاقة MeV ≤ 50 وجزيئات ألفا ذات الطاقة والأيونات الثقيلة بجميع الطاقات [16].

يتشابه التركيب الكيميائي للكاشف CR-39 (C<sub>12</sub>H<sub>18</sub>O<sub>7</sub>) مع التركيب الكيميائي للأنسجة البشرية، لذا فإن استجابته للنترونات تشبه استجابة الأنسجة للنترونات.

يمكن كشف النترونات ذات الطاقات من 1 إلى 20 MeV عن طريق البروتونات المرتدة التي تتشكل نتيجة لتفاعل التبعثر المرن للنترونات مع نوى هدروجين البوليمر. يمكن أيضاً كشف النترونات بواسطة CR-39 من خلال آثار الأيونات المرتدة الثقيلة الناتجة عن تفاعلات التقسيم غير المرن لنوى الكربون والأكسجين المستهدفة [16].

### 2.2.2. تشكل الأثر في كاشف الأثر النووي البلاستيكي CR-39:

يتزافق مرور جسيم مشحون عبر طبقة من الكاشف CR-39 بتكسير العديد من الروابط الجزيئية للبوليمر على طول مساره. يُعرف هذا الأثر التالف عبر الجزء الأكبر من الكاشف باسم "الأثر الكامن". وبعد تشعيع الكاشف CR-39، يعاد إلى المختبر ويُخضع لعملية حك كيميائية في محلول  $NaOH$  لفترة محددة من الزمن. يبدأ محلول  $NaOH$  في إذابة مادة البوليمرية للكاشف CR-39، ويفتاعل مع الأثر الكامن أكثر من تفاعله مع الجزء الأكبر من المادة. يُطلق على المعدل الذي يعمل به محلول القلوي على الأثر الكامن معدل حك الأثر  $V_T$ . ومعدل الحك الحجمي  $V_G$  هو المعدل الذي يؤثر فيه محلول القلوي على حجم الكاشف. يوضح الشكل 2.2.2.2 معدل حك الأثر ومعدل الحك الكلي.



الشكل 2.2.2. رسم تخطيطي لعملية تشكل الأثر النووي من خلال الحك الكيميائي. [16]

يُقاس كل من  $V_T$  و  $V_G$  بـ  $(\frac{\mu m}{h})$ . بعد حك CR-39، يرفع الكاشف من محلول  $NaOH$ ، ومن ثم يمكن فحصه تحت المجهر الضوئي. تظهر حفرة مخروطية الشكل على سطح كاشف الأثر النووي تمثل أثر الضرر الكامن.

تناسب أبعاد الفتحة الإهليلجية للحفرة المخروطية مع معامل نقل الطاقة الخطي (LET) للجسيم الذي شكل أثر الضرر الكامن. هي كمية الطاقة المنقولة من الجسيم المؤين إلى المادة لكل وحدة طول أثر عند قياس الأثر في CR-39، يُعرف معدل الحك المختل

$V_R$ ، وهو كمية بلا أبعاد تربط معدل حفر الأثر  $V_T$  بمعدل الحفر الحجمي  $V_G$  [20]:

$$V_R \equiv \frac{V_T}{V_G} \quad (1)$$

لجعل الأثار المحفورة مرئية أي  $V_T > V_G$  ينبغي أن يكون:

$$\frac{V_T}{V_G} = V_R > 1 \quad (2)$$

تسمى الزاوية بين مسار الجسيم المشحون وجانبي المسار المخروطي بالزاوية المخروطية  $\theta$ . جيب الزاوية  $\theta$  يساوي نسبة معدل الحك  $V_G$  إلى معدل حك الأثر  $V_T$ :

$$\sin\theta = \frac{V_G}{V_T} = \frac{1}{V_R} = \quad (3)$$

### 2.2.3. إنتاج النترونات الضوئية

يمكن أن يؤدي تفاعل الفوتون مع المادة إلى نتائج مختلفة. يمكن تصنيف هذه النتائج وفقاً لمادة الهدف الذي يتفاعل معه الفوتون، مثل الإلكترونات أو الذرات أو النوى، ونوع التفاعل، أي التبعثر أو الامتصاص. تنتج النترونات الضوئية من خلال تفاعلات نووية ضوئية

تسمى التفكك الضوئي [5]. يحدث التفكك الضوئي عندما تمتص النواة فوتوناً عالي الطاقة يتبعه حدوث إعادة ترتيب لداخل النواة وطرد جسيم واحد أو أكثر منها، مثل البروتونات أو النترونات أو جسيمات أغا. تُعرف هذه العملية بالتبخر [11]. تنتج معظم النترونات الضوئية (80-90%) من خلال عملية التبخر بعد منطقة الرنين في النوى الثقيلة. تتبع نترونات التبخر بشكل متاح ولها طاقات متوسطة ضمن المجال (1-2 MeV) [12].

ويمكن أيضاً أن تتبع النترونات الضوئية من عملية تسمى الانبعاث المباشر [11]. الانبعاث المباشر يحدث عندما يتفاعل جسيم عالي الطاقة كالفوتون مثلاً مباشرة مع واحد أو أكثر من النكilonات المفردة (النترونات) داخل النواة. تمتلك نترونات الانبعاث المباشر طاقات متوسطة تصل إلى عدة MeV.

التوزيع الزاوي للنترونات المباشرة يتبع الدالة  $\sin \theta$  [20]. يقدر مردود النترونات المباشرة في حالة الأشعة السينية ذات الطاقة (30-15) MeV التي تتفاعل مع النوى الثقيلة بنحو 20% (10-10) [13].

يعتمد إنتاج النترونات الضوئية ( $\gamma, n$ ) على المقطع العرضي للنترونات الضوئية وطاقة ارتباط النواة. الطاقة الدنيا الازمة للتغلب على طاقة الارتباط تسمى طاقة العتبة  $E_{th}$  في إنتاج النترونات الضوئية، من الواضح أن الطاقة المضافة تكون على شكل فوتون أشعة سينية وارد. يوضح الجدول (1.2) طاقات عتبة النترونات الضوئية لمجموعة متنوعة من العناصر والنظائر. وتمثل هذه العناصر والنظائر تلك التي يتكون منها جسم الإنسان ( $^{12}C$  و  $^{14}N$  و  $^{16}O$ )، والهواء ( $^{14}N$  و  $^{16}O$ ) ورأس المعالجة للمسرع فاريان ( $^{206}Pb$  و  $^{207}Pb$  و  $^{208}Pb$  و  $^{186}W$ ). يلاحظ من الجدول (1.2) أن النترونات الضوئية يمكن تنشاؤ عند طاقات فوتونية منخفضة تبلغ 6.57 MeV للمواد ذات العدد الذري المرتفع  $Z$  مثل التبغستان والرصاص. تتطلب العناصر الأخرى مثل الكربون MV 18.72 والنتروجين MV 10.56 والأكسجين طاقات تتجاوز عتبة الطاقة، للخضوع للتفاعلات من نوع ( $\gamma, n$ ).

عند حدوث تفاعل نتروني ضوئي، قد ينتج نترون واحد أو أكثر تبعاً لطاقة الفوتون والمقطع العرضي لتفاعل النترون الضوئي. المقطع العرضي الكلي للنترون الضوئي هو مجموع المقاطع العرضية ( $\gamma, n$ )  $\sigma$  و ( $\gamma, 2n$ )  $\sigma$  و ( $\gamma, 3n$ )  $\sigma$  ... إلخ:

$$\sum_{i=1}^{\infty} \sigma(\gamma, in) \quad (4)$$

يوضح الشكلان (4.2) (3.2) المقطع العرضي للفوتون الضوئي لكل من  $^{12}C$  و  $^{14}N$  و  $^{16}O$  و  $^{206}Pb$  و  $^{207}Pb$  و  $^{208}Pb$  و  $^{186}W$ . تُتبع هذه المنحنيات توزيع Poisson أو توزيع Lorentz، حيث يبلغ المقطع العرضي عند الطاقات الأعلى إلى ذروة أو قمة متعددة. تسمى هذه القمم الرنينات وتحدث عند طاقات الفوتون حيث تتعزز التفاعلات مع النوى. إذا كانت ذروة الرنين واسعة وإذا كانت طاقة الفوتون الوارد بالقرب من ذروة الرنين، فإن احتمال انبثاث النترون الضوئي كبير.

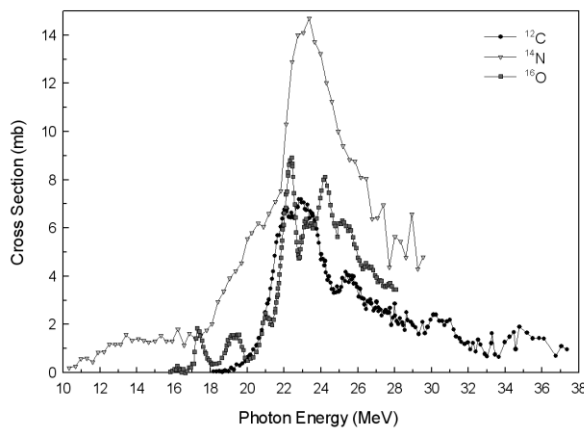
الجدول (1.2) طاقات عتبة للعناصر/النظائر المختلفة للتفاعلات ( $\gamma, n$ ) و ( $\gamma, 2n$ ) و ( $\gamma, 3n$ )

( $\gamma, 3n$ )	( $\gamma, 2n$ )	( $\gamma, n$ )	العنصر
طاقة العتبة MeV			
-	31.83	18.72	$^{12}C$
-	-	10.56	$^{14}N$
-	-	15.72	$^{16}O$
23.02	14.79	8.05	$^{206}Pb$
21.62	14.79	6.57	$^{207}Pb$
21.42	22.24	7.31	$^{208}Pb$
20.41	12.94	7.22	$^{186}W$

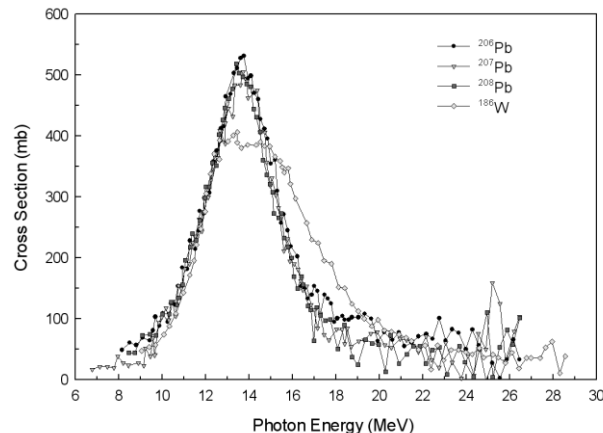
يوضح الشكل 3.2 المقاطع العرضية لتفاعل الفوتونات مع النوى  $^{206}Pb$  و  $^{207}Pb$  و  $^{208}Pb$  و  $^{186}W$  حيث يلاحظ أن إنتاج النترونات الضوئية يبدأ من طاقات الأشعة السينية التي تتجاوز الطاقات ( $206Pb$  8.05 MeV عند  $207Pb$  6.75 MeV عند  $186W$ ).

( $^{208}Pb$  عند 7.31  $MeV$  و  $^{186}W$  عند 7.22). تبدأ قمم الرنين في النوى  $^{206}Pb$  و  $^{207}Pb$  و  $^{186}W$  بدءاً من الطاقة 10  $MeV$  وتستمر حتى 18  $MeV$ . ويلاحظ أن أكبر قيم المقطع العرضي المقاسة هي  $mb$  (531, 505, 518, 406) على التوالي، وتحدث عند طاقات الفوتون بين 12  $MeV$  و 16  $MeV$ .

توضّح بيانات المقطع العرضي للنوى  $^{12}C$  و  $^{14}N$  و  $^{16}O$  الموضحة في الشكل (4.2) أنه بالنسبة لهذه النوى الثلاثة، يبدأ إنتاج النترونات عند طاقة الفوتون (18~ $^{16}O$ )  $MeV$ , (10~ $^{14}N$ )  $MeV$ , (15~ $^{12}C$ )  $MeV$ . ومع ازدياد طاقة الأشعة السينية إلى ما يقرب من 26 – 22  $MeV$  فإن قمم الرنين تزداد في جميع النظائر الثلاثة. أكبر قيم ل المقاطع العرضية المقاسة ل  $^{12}C$  و  $^{14}N$  و  $^{16}O$  هي (17, 15, 9)  $mb$  على التوالي.



شكل 4.2. المقاطع العرضية للنترونات الضوئية الناتجة عن تفاعل الفوتونات مع النوى  $^{12}C$  و  $^{14}N$  و  $^{16}O$  الموجودة في الهواء وجسم الإنسان [20].



شكل 32.. المقاطع العرضية للنترونات الضوئية الناتجة عن تفاعل الفوتونات مع النوى  $^{206}Pb$  و  $^{207}Pb$  و  $^{208}Pb$  و  $^{186}W$  الموجودة في رأس المعالجة للمسرع الخطي [20].

بمجرد تجاوز عتبة التفاعل، تظهر النترونات بطاقة حركية يمكن حسابها بواسطة العلاقة:

$$E_n = hf - E_{th} \quad (5)$$

وبالسرعة:

$$E_n = \left( \frac{2E_n}{m_n} \right)^{1/2} \quad (6)$$

حيث  $E_n$  هي طاقة النترون المنبعث، و  $E_{th}$  هي طاقة العتبة، و  $m_n$  هي كتلة النترون. و  $hf$  طاقة الفوتون يعطي الجدول (2.2) الطاقات القصوى للنترون المنبعث المحسوبة بواسطة المعادلة (5). وتجر الإشارة إلى أن النترونات الضوئية سمتلك نطاق واسع من الطاقات، وأن الجدول (2.2) يوضح فقط الطاقة القصوى التي يمكن أن يمتلكها النترون الضوئي الوارد.

الجدول (2.2) القيمة القصوى للطاقات الحركية للنترونات الضوئية الناتجة عن التفاعلات  $(\gamma, n)$  من أجل طاقة الفوتونات الواردة (6, 10, 18) MeV.

العناصر	طاقة الفوتون (6MeV)	طاقة الفوتون (10MeV)	طاقة الفوتون (18MeV)
طاقة النترون الضوئي القصوى $E_n$			
$^{12}C$	-	-	-
$^{14}N$	7.44	-	-
$^{16}O$	2.28	-	-
$^{206}Pb$	9.95	1.95	-
$^{207}Pb$	11.25	3.25	-
$^{208}Pb$	10.69	2.69	-
$^{186}W$	10.78	2.78	-

### 3.2 طيف النترونات الضوئية

بعد طيف النترونات الضوئية في موقع مختلف في غرفة المسرع الخطي الطبي مقاييساً رئيسياً في اعتبارات التصميم، لأنه فقط من خلال الفهم الكامل لتوزع طاقة النترونات الضوئية، يمكن أن تطور إستراتيجية فعالة لتدريب غرفة المسرع تُعطى المعادلة التحليلية التي تصف طيف النترونات الضوئية بمساهمة نوعي النترونات الضوئية بواسطة المعادلة (7) التي اقترحت لأول مرة في عام 1991 [17].

$$\frac{dN}{dE_n} = \frac{0.8929E_n}{T^2} e^{-E_n/T} + \frac{0.107 \ln \left[ \frac{E_{max}}{E_n + 7.34} \right]}{\int_0^{E_{max}} \left[ \frac{E_{max}}{E_n + 7.34} \right] dE_n} \quad (7)$$

يصف الحد الأول في هذه المعادلة طيف نترونات التبخر، بينما يرتبط الحد الثاني بالنترونات المباشرة.  $E_n$  هي طاقة النترون،  $T$  هي درجة الحرارة النووية بـ (T = 1.5 MeV in Tungsten) MeV.  $E_{max}$  هي أقصى طاقة للفوتونات التي يولدها المسرع عند التشغيل. القيمة 7.34 MeV هي مع متوسط طاقة ارتباط النترون المنبعث للتلغستان [17].

يمكن مثلاً، وصف طيف انبعاث النترونات الضوئية في حالة إنتاج المسرع لأشعة سينية بطاقة قصوى 25 MeV بالعلاقة التالية:

$$N(E_n) = 3.5716E_n \times e^{-2E_n} + 0.0123607 \frac{25}{E_n + 7.34} \quad (8)$$

### 3- العمل التجاريي والنتائج:

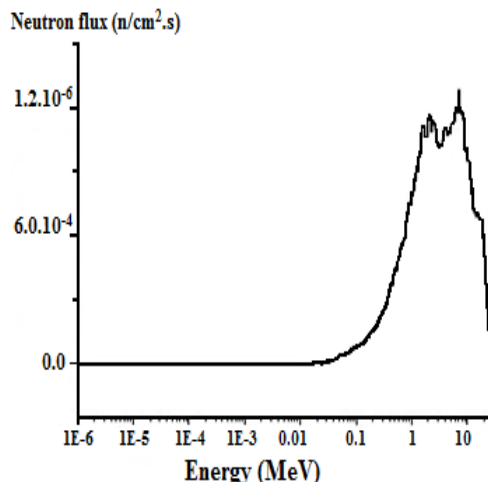
#### 3.1 معايرة كواشف الأثر النووي CR - 39

أهم ما يميز كواشف CR - 39 بأنها ذات نقاوة عالية وتأثرها بالتغييرات البيئية ضئيل، ويمكنها تسجيل آثار النترونات السريعة بشكل مباشر من خلال تسجيل آثار البروتونات المرتدة نتيجة تفاعل النترونات الضوئية مع مادة الكاشف بتفاعل من النوع  $(n, p)$ . وبالتالي يمكن بواسطة الكواشف CR - 39 قياس عدد الآثار التي تحدثها البروتونات المرتدة (tracks/cm<sup>2</sup>), وهذا يقتضي معايرة هذه الكواشف باستعمال منابع نترونية عيارية كالمنبع  $^{241}Am - ^9Be$ .

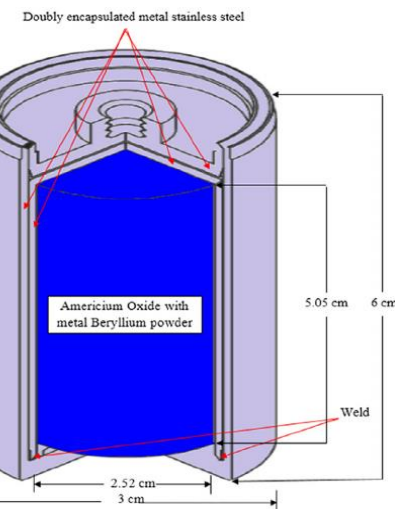
#### 3.2 المنبع النتروني $^{241}Am - ^9Be$

المنبع النتروني  $^{241}Am - ^9Be$  هو عبارة عن خليط متجانس من نظيري البيريليوم ( $^{9}Be$ ) والأميرشيوم ( $^{241}Am$ ), حيث يشكل البيريليوم معظم مادته. وتشا النترونات من المنبع  $^{241}Am - ^9Be$  نتائج تفاعل  $^{241}Am - ^9Be(\alpha, n) ^{12}C$  الذي يجري بواسطة الجسيمات أفال المنبعثة من  $^{241}Am$ .

استخدم في هذا البحث المنبع النتروني  $^{241}Am - ^9Be$  شكله أسطواني محاط بطبقتين من مادة المستانلس ستيل سماكة كل طبقة  $1.2mm$ ، ونصف قطر الأسطوانة الداخلية  $13.3 mm$  والخارجية  $15 mm$ ، ويبلغ ارتفاعه  $60 mm$ ، يحوي هذا المنبع  $5 Ci$  من الأميريشيوم ويبلغ نشاطه الإشعاعي  $S = 1.2 \times 10^7 \left(\frac{n}{s}\right)$  يتتك نظير الأميريشيوم مطلقاً جسيمات ألفا وبطاقات مختلفة، تتفاعل جسيمات ألفا مع نوى البيريليوم مما يسمح بإطلاق نترونات وإصدار أشعة غاما بطاقة  $4.44 MeV$ ، نسبة ما يصدره المصدر من الفوتونات إلى ما يصدره من النترونات  $59.6\%$ .



الشكل (6.3) الطيف الطاقي لمنبع النترونات  $^{241}Am - ^9Be$ .

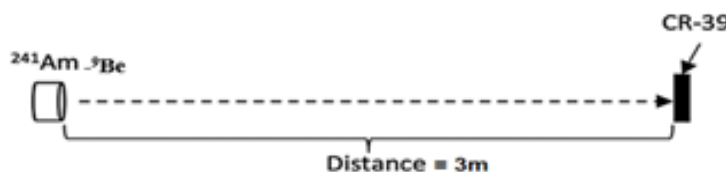


الشكل (5.3): مصدر نتروني من النوع  $^{241}Am - ^9Be$ .

تنطلق هذه النترونات بطاقات مختلفة وتشكل طيفاً نترونياً مستمراً، حيث تتركز أكثر من 98% من نترونات هذا الطيف في المجال السريع (0.1 – 10.8 MeV) وبطاقة وسطى 5.48 MeV كما هو موضح في الشكل (6.3).

### 3.3 آلية معايرة الكواشف :CR-39

في عملية المعايرة استعملت ثمانية كواشف CR-39، أبعاد كل منها  $1.5 \times 1.3 cm^2$ ، وثبتت هذه الكواشف على عارض (حاملات) خشبية التي وضعت على مسافة بلغت 3m عن منبع النترونات  $^{241}Am - ^9Be$  كما هو موضح بالشكل (7.3).

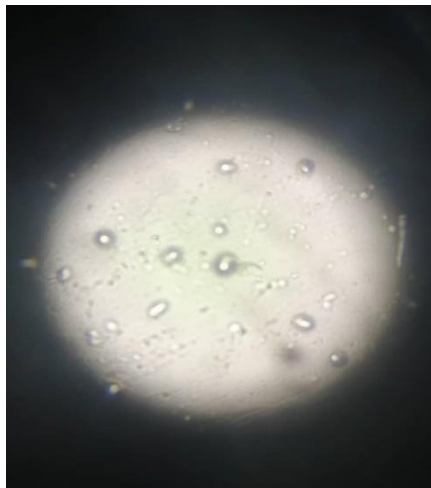


الشكل (7.3) يوضح تخطيطياً معايرة الكواشف CR-39 باستخدام المنبع النتروني العياري  $^{241}Am - ^9Be$ .

أُجريت المعايرة في المخبر العيادي الثانوي بهيئة الطاقة الذرية السورية باستعمال المصدر النتروني  $^{241}Am-9Be$  شدة إصداره  $S = 1.2 \times 10^7 \left(\frac{n}{s}\right)$ ، حيث وضعت الكواشف بالبداية على بعد 300 cm عن المصدر كما هو موضح بالشكل (7.3).

حيث جرى تعریض الكاشفين (1-2) لمدة 10 s والكاشفين (4-5) لمدة 20 s والكاشفين (5-6) لمدة 30 s والكاشفين (7-8) لمدة 60 s ومن ثم حُكت الكواشف المشعة CR-39 كيميائياً باستخدام محلول هيدروكسيد الصوديوم تركيزه  $\frac{6.25\text{mol}}{\text{l}}$  ودرجة حرارته  $70^{\circ}\text{C}$  لمنطقة 7 ساعات.

فرأت الكواشف المشعة الثمانية بالإضافة لكاشف الخلفية الإشعاعية الطبيعية باستخدام المجهر الضوئي من النوع PSD1-L5-MO1 المتوفّر في هيئة الطاقة الذريّة السورية كما هو موضّح في الشكل (8.3) والذي يمتلك مقدرة تكبير من  $100\times$  إلى  $1000\times$ ، ومقدرة فصل تبلغ 0.2 ميكرومتر وذلك لتسجيل عدد آثار البروتونات المقتولة من الكواشف بواسطة النترونات الصادرة عن المنبع  $^{241}\text{Am}$  كما هو موضّح بالشكل (9.3).



الشكل (9.3): يوضّح الآثار المتّشكّلة على الكواشف CR-39 كما تشاهد باستعمال المجهر الضوئي.



الشكل (8.3): المجهر الضوئي المستعمل لعد الآثار على الكواشف CR-39.

جرى استعمال المجهر الضوئي عند قوة تكبير 20 وباستخدام المسطّرة المجهريّة المدرّجة جرى قياس قطر المشهد وحسبت مساحة المشهد وفقاً للعلاقة:

$$s = \pi \times r^2 \quad (9)$$

ووجد أن قطر المشهد يساوي  $r = 0.92\text{mm}$  ومساحة المشهد  $s = 0.00665\text{ cm}^2$ .

- جرى حساب الخطأ النسبي لمجموع عدد الآثار وفقاً للعلاقة:

$$R = \frac{1}{\sqrt{\text{total count}}} \quad (10)$$

وفي عملية قراءة الكواشف كان  
✓ عدد مشاهد الرؤية: 10

- ✓ مجموع عدد الآثار: هو مجموع الآثار التي تمّ عدّها لعشرة مشاهدات .
- ✓ متوسط عدد الآثار: هو مجموع عدد الآثار مقسّم على عدد المشاهدات .
- ✓ جرى حساب كثافة الآثار من العلاقة التالية:

$$D = \frac{N}{A \times V} \quad (11)$$

حيث

$D$ : كثافة الآثار على سطح الكاشف ( $\text{Tr/cm}^2$ ),

$N$ : عدد الآثار التي تم عدها

$A$ : مساحة مشهد، الرؤيا ( $\text{cm}^2$ )

$V$ : عدد مشاهد الرؤيا

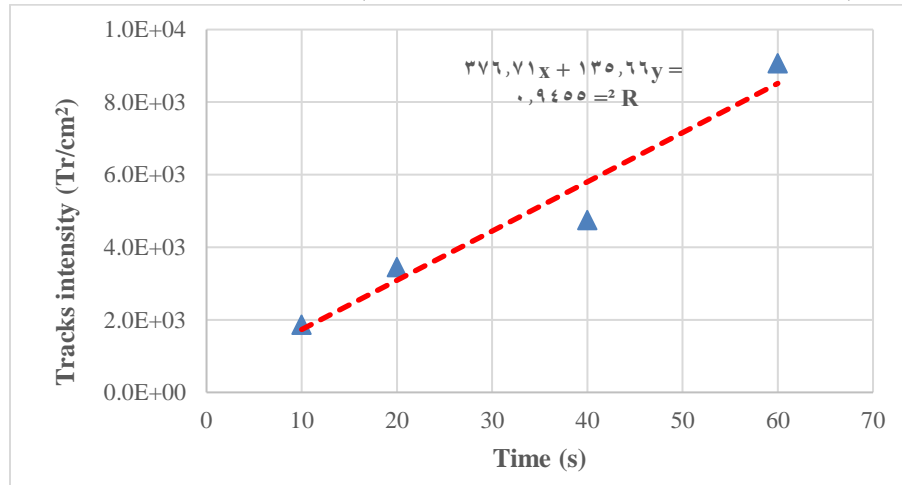
✓ متوسط كثافة الآثار: هو المتوسط الحسابي لكتافة الآثار (لنفس زمن التشيع)

يوضح الجدول (3.2) عدد آثار البروتونات المتشكلة على الكواشف CR-39 والناتجة عن تفاعل النترونات مع مادة هذه الكواشف.

الجدول (3.2): عدد آثار البروتونات المتشكلة على الكواشف CR-39 بدلالة زمن تعرضها للمنبع التروني  $^{241}\text{Am-Be}$

الكافش	رمز	رقم	زمن التشيع (s)	مجموع عدد الآثار	الخطأ النسبي	متوسط عدد الآثار	كتافة الآثار ( $\text{Tr}/\text{cm}^2$ )	متوسط كثافة الآثار ( $\text{Tr}/\text{cm}^2$ )
186	189	1	10	126	0.089	12.6	186	186
	183	2	10	122	0.091	12.2	183	183
344	347	3	20	231	0.066	23.1	347	344
	342	4	20	228	0.066	22.8	342	344
475	478	5	40	318	0.056	31.8	478	475
	472	6	40	314	0.056	31.4	472	475
907	897	7	60	597	0.041	59.7	897	907
	917	8	60	610	0.040	61	917	907

يوضح الشكل (10.3) منحني معايرة الكواشف CR-39 الم الحصول عليه في هذا البحث.



الشكل (10.3) منحني معايرة الكواشف CR-39 عند تشعيتها على مسافة 300cm بـ  $^{241}\text{Am-Be}$

يلاحظ من الشكل (10.3) خطية منحني معايرة الكواشف CR-39 ذي الشكل العام:

$$Y = ax + b$$

حيث بلغ الارتباط الخطي القيمة ( $R^2 = 0.9455$ ) وهي قريبة جداً من الواحد، ولذلك تم اعتماد هذا المنحني كمنحني معايرة.

#### 3.4 قياس توزع التدفقات النترونية الضوئية على طاولة المعالجة:

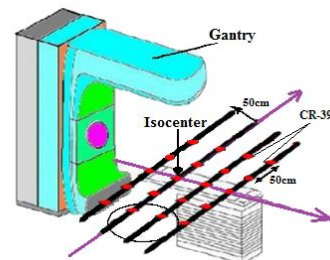
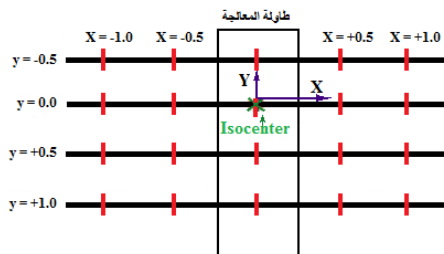
لقياس توزع التدفقات النترونية الضوئية المرافقه للحزم الفوتونية الواردة من رأس المسرع الخطي على طاولة المعالجة، استعملت أربعة عوارض خشبية طول كل منها 2 m وسماكتها 3 cm، ثبتت خمسة كواشف من نوع CR-39 على كل عارضة

بحيث كانت المسافة بين تبالي الكواشف 50cm وزوّعت وفقاً للمحور  $ox$  عند الإحداثيات ( $x = 0$ ) وبنفس الطريقة وزوّعت أربعة كواشف أخرى وفقاً للمحور  $oy$  عند الإحداثيات ( $y = 0$ )

$[-50, 0, +50, +100] \text{ cm}$

وُضعت العوارض الخشبية الحاملة للكواشف على طاولة المعالجة تحت رأس المسرع الخطي كما هو موضح بالشكل (11.3)، بحيث ينطبق المحور  $oy$  المار من الأيزوستنتر (مركز المعالجة) على الكواشف ذات الإحداثيات  $0 = x$  وهي الكواشف المتواضعة عند  $(0, -50), (0, 0), (0, +50), (0, +100)$  ويزع الكواشف الأخرى بشكل متاظر على يمين ويسار هذا المحور، وتتوسط الكاشف  $(0, 0)$  في الأيزوستنتر.

أُجريت قياسات التدفقات النترونية الضوئية على جهازين مسرعين خطبيين من النوع *Varian ix* (المسرع الأول يعطي حزمة فوتونية بطاقة  $23\text{ MV}$  والمسرع الثاني يعطي حزمة فوتونية بطاقة  $18\text{ MV}$ ) متوفرين في مشفى تشرين الجامعي باللاذقية بشعبة المعالجة الإشعاعية، واستخدمت حزم بساحة تشيعية بلغت القيمة  $40\text{ cm}^2$ .



الشكل (11.3) : يوضح تخطيطياً توزيع العوارض الخشبية الحاملة للكواشف  $CR - 39$  على طاولة المعالجة.



الشكل (12.3) يوضح تخطيطياً توزيع العوارض الخشبية الحاملة للكواشف  $CR - 39$  على طاولة المعالجة. في مستشفى تشرين الجامعي باللاذقية شعبة المعالجة الإشعاعية.

### 3.5 قياس توزع التدفقات النترونية الضوئية على طاولة المعالجة للحزمة $23\text{ MV}$

تم اعتماد توزيع الكواشف  $CR - 39$  المذكور في الفقرة 4، واعتماد الحزمة الفوتونية بالطاقة  $23\text{ MV}$  معدل الجرعة الإشعاعية  $400\text{ MU/min}$  حيث أنها مقاييس لمخرجات الآلة من (MU) وحدة المراقبة للمسرع السيريري للعلاج الإشعاعي للمسرع الخطي، والساحة الإشعاعية  $40 \times 40\text{ cm}^2$  والبعد بين المنبع وسطح الطاولة  $SSD = 100\text{ cm}$ . وتمت عملية الحك المذكورة سابقاً، ومن ثم أُجريت قراءة الوكاشف  $CR - 39$  باستعمال المجهر الضوئي ومساحة المشهد  $S = 0.00665\text{ cm}^2$  وتم حساب الخطأ النسبي باستخدام العلاقة

$$R = \frac{1}{\sqrt{\text{total count}}}$$

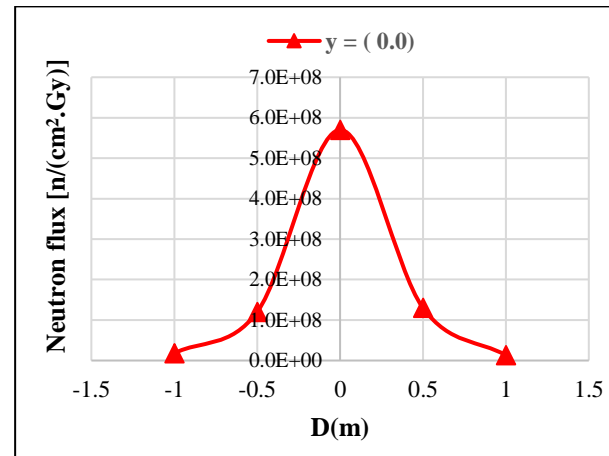
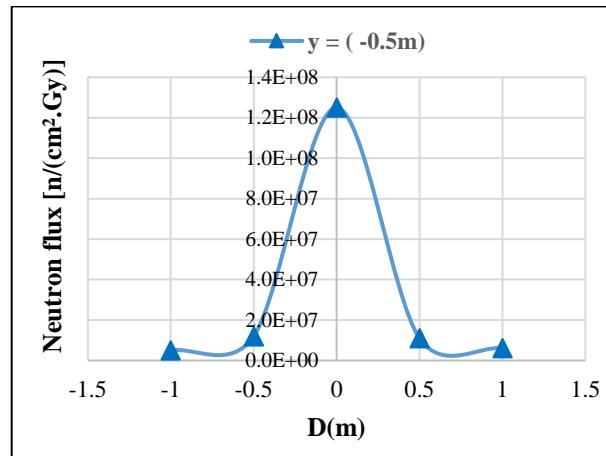
وتمت جدوله نتائج قياس كثافة آثار النترونات الضوئية لحالة الحزمة MV 23 كما في الجدول (4.2) ، وتدفقات النترونات الضوئية كما في الجدول (5.2) وتم تمثيل التدفقات النترونية بيانياً كما في الشكل (13.3)

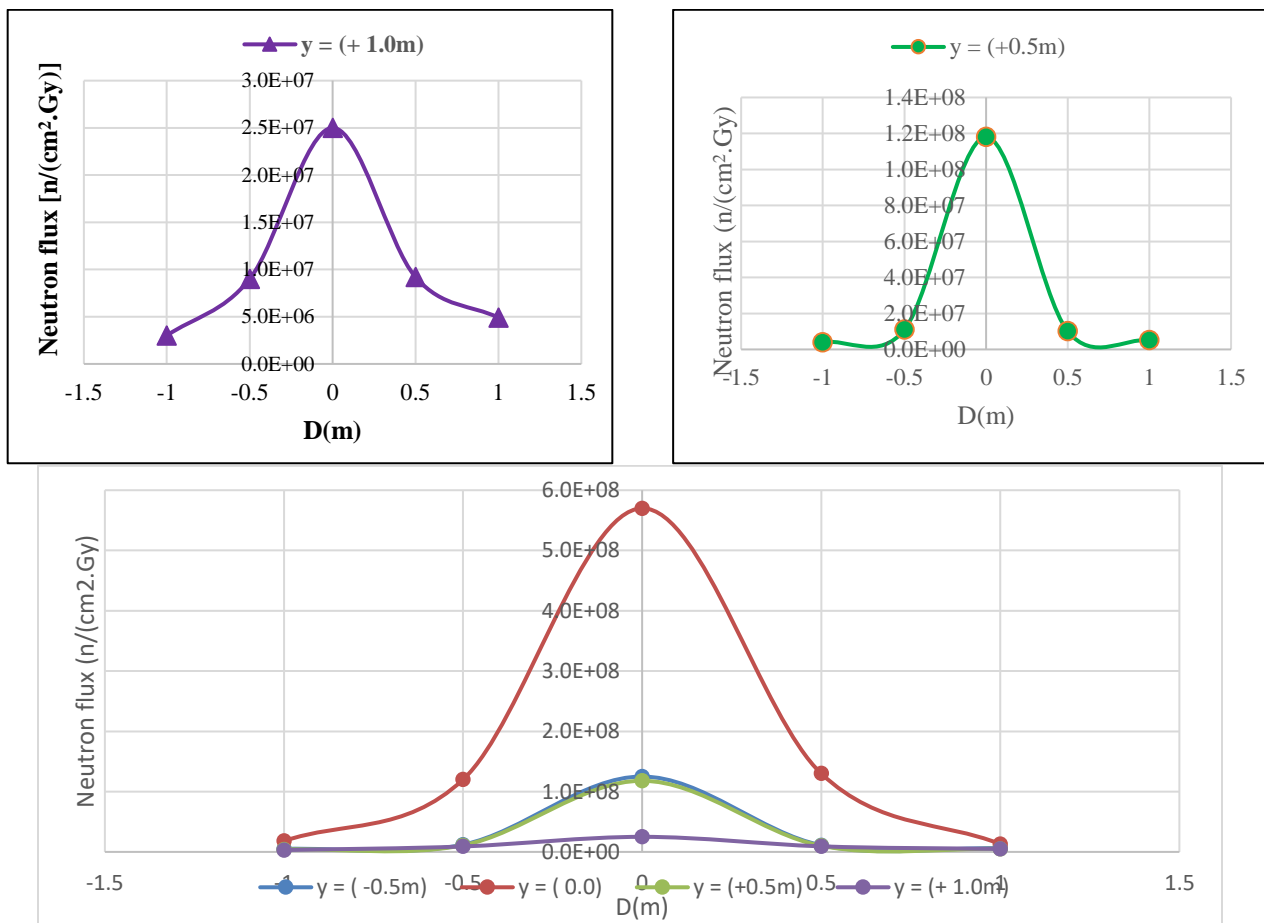
الجدول (4.2) يوضح كثافة آثار النترونات الضوئية على كواشف CR-39 مقابل البعد عن مركز الساحة الإشعاعية لحالة الحزمة الفوتونية MV 23

كثافة الآثار على الكواشف CR - 39				
$\text{tr/cm}^2$				
$y = +1.0$	$y = +0.5$	$y = 0.0$	$y = -0.5$	المسافة (m)
496	1008	1309	1098	-1
1699	2977	3339	3100	-0.5
5399	10692	19249	11692	0
1600	3158	3384	3240	0.5
451	887	1339	998	1

الجدول (5.2) تدفقات النترونات الضوئية مقابل البعد عن مركز الساحة الإشعاعية المقاسة بواسطة الكواشف CR-39 لحالة الحزمة الفوتونية MV 23

تدفق النترونات الضوئية $\varphi [n/(cm^2 \cdot Gy)]$				
$y = +1.0$	$y = +0.5$	$y = 0.0$	$y = -0.5$	المسافة (m)
3.00E+06	4.00E+06	1.80E+07	5.00E+06	-1
9.00E+06	1.10E+07	1.20E+08	1.20E+07	-0.5
2.50E+07	1.18E+08	5.70E+08	1.25E+08	0
9.20E+06	1.01E+07	1.30E+08	1.10E+07	0.5
4.90E+06	5.10E+06	1.30E+07	6.10E+06	1





الشكل (13.3): يوضح تابعية تدفق النترونات الضوئية للبعد عن مركز الساحة الإشعاعية مقاساً بواسطة كواشف  $CR - 39$  وللحزمة الفوتونية  $23 MV$ .

يلاحظ من الجدول (5.2) والشكل (13.3) أن تدفق النترونات الضوئية يكون أعظم ما يمكن في مركز الساحة الإشعاعية  $(0,0)$ ، لأن شدة الحزمة الفوتونية تكون عظمى في هذه النقطة وتكون غالبية النترونات الضوئية المتشكلة فيها هي نترونات سريعة وينخفض مع الابتعاد عن هذا المركز، لأن النترونات الضوئية تتلاشى وتتحفظ طاقتها بزيادة البعد عن الساحة الإشعاعية و منحنيات توزيع تدفق النترونات الضوئية غاوصية الشكل ومتناهية بالنسبة إلى المحور  $y$ .

يعطي الجدول (6.2) يم التغيرات النسبية لتدفق النترونات الضوئية في أماكن توضع الكواشف  $CR - 39$  بالنسبة إلى قيمته في مركز الساحة الإشعاعية لحالة الحزمة الفوتونية  $23 MV$ .

الجدول (6.2) التغير النسبي لتدفق النترونات الضوئية في أماكن توضع الكواشف  $CR - 39$  بالنسبة إلى قيمته في مركز الساحة الإشعاعية لحالة الحزمة الفوتونية  $23 MV$ .

$(\Delta\varphi_i/\bar{\varphi}_i) * 100$				
$y = +1.0$	$y = +0.5$	$y = 0.0$	$y = -0.5$	المسافة (m)
-1.98E+02	-1.97E+02	-1.88E+02	-1.97E+02	-1
-1.94E+02	-1.92E+02	-1.30E+02	-1.64E+02	-0.5
-1.83E+02	-1.40E+02	0.00E+00	-1.28E+02	0
-1.94E+02	-1.93E+02	-1.26E+02	-1.92E+02	0.5
-1.97E+02	-1.96E+02	-1.91E+02	-1.96E+02	1

## 3.6 قياس توزع التدفقات النترونية الضوئية على طاولة المعالجة للحزمة 18 MV

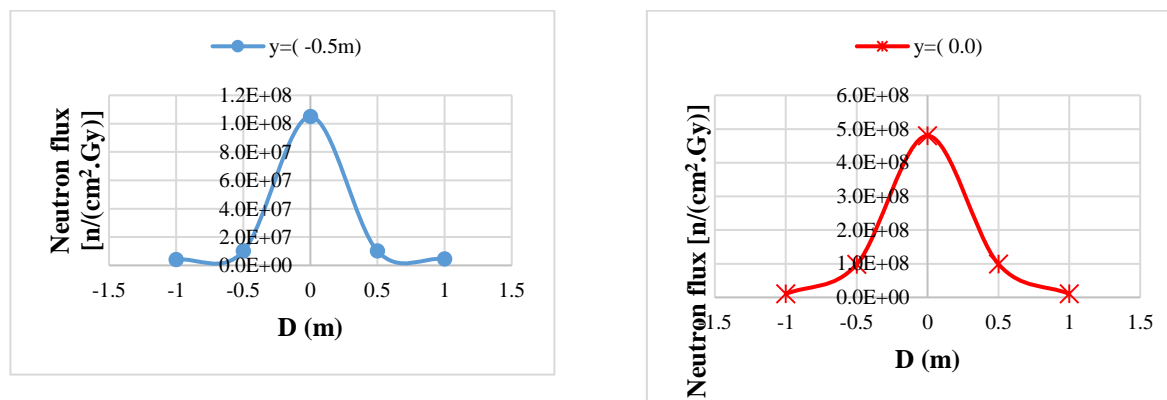
أجريت نفس الدراسة السابقة وبنفس الشروط على المسرع *VARIAN IX* (SN: 5365) مع مراعاة العوامل التالية: اعتمد توزيع الكواشف 39 – *CR* المذكور في الفقرة 3-2، واعتمدت الحزمة الفوتونية بالطاقة 18 MV معدل الجرعة الإشعاعية *CR* = 100 cm<sup>2</sup> 400 MU/min، والساحة الإشعاعية 40×40 cm<sup>2</sup> وبعد بين المنبع وسطح الطاولة *SSD* = 100 cm. وترك الكواشف 39 لفترة زمنية 400 MU/min ومن ثم حكت الكواشف 39 – *CR* وقرأت باستعمال المجهر الضوئي ومساحة المشهد = 0.00665 cm<sup>2</sup> وحسب الخطأ النسبي باستخدام العلاقة  $R = \frac{1}{\sqrt{\text{total count}}}$  وتمت جدولة نتائج قياس كثافة آثار النترونات الضوئية كما في الجدول (7.2)، والتدفقات النترونية الضوئية كما في الجدول (8.2) وتمثيل التدفقات النترونية بيانياً كما يوضح الشكل (14.3).

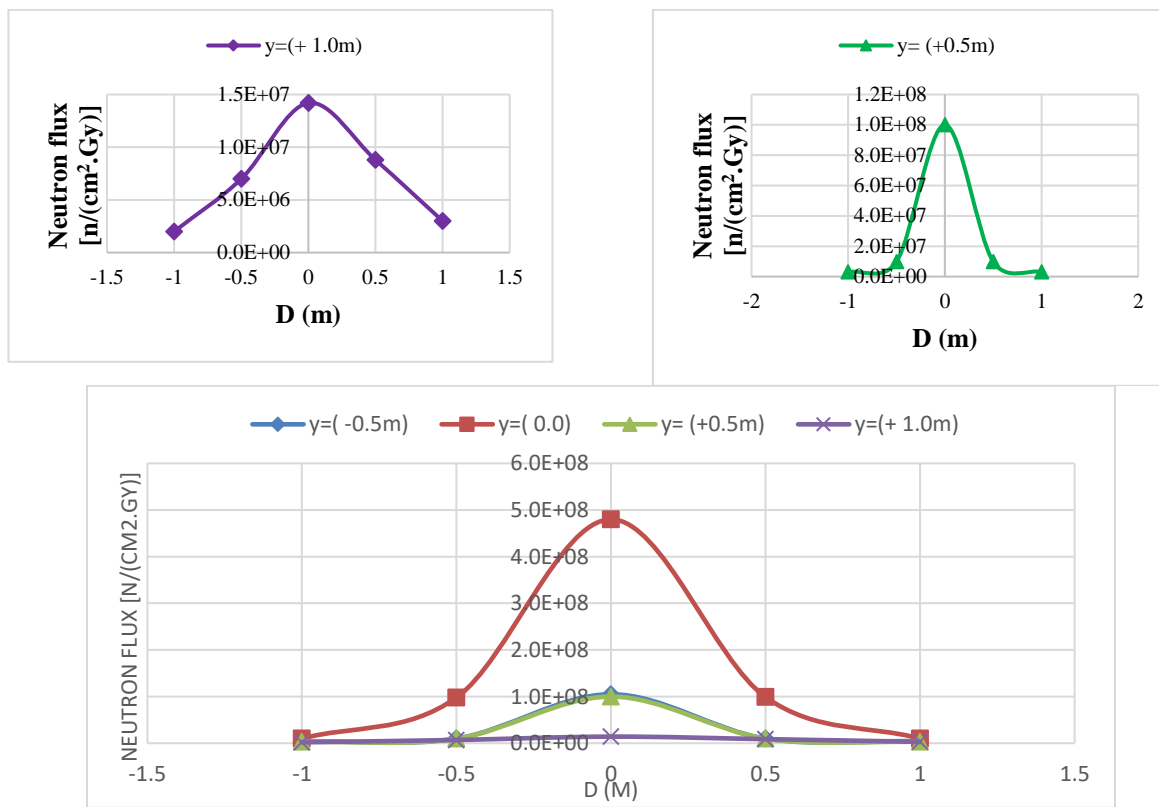
الجدول (7.2) يوضح كثافة آثار النترونات الضوئية على كواشف CR-39 مقابل البعد عن مركز الساحة الإشعاعية لحالة الحزمة الفوتونية 18 MV

عدد الآثار على الكواشف 39 – CR				
tr/cm <sup>2</sup>				
$y = +1.0$	$y = +0.5$	$y = 0.0$	$y = -0.5$	المسافة (m)
400	929	1108	943	-1
1520	2411	3150	2500	-0.5
5200	9010	17258	9045	0
1490	2241	3111	2350	0.5
407	911	1088	930	1

الجدول (8.2) : تدفق النترونات الضوئية مقابل البعد عن مركز الساحة الإشعاعية المقاسة بواسطة الكواشف CR – 39 لحالة الحزمة الفوتونية 18 MV

تدفق النترونات الضوئية $\phi [n/(cm^2.Gy)]$				
$y = +1.0$	$y = +0.5$	$y = 0.0$	$y = -0.5$	المسافة (m)
2.00E+06	3.00E+06	1.00E+07	4.00E+06	-1
7.00E+06	9.80E+06	9.80E+07	1.00E+07	-0.5
1.42E+07	1.00E+08	4.80E+08	1.05E+08	0
8.80E+06	9.90E+06	9.90E+07	1.01E+07	0.5
3.00E+06	3.10E+06	1.01E+07	4.50E+06	1





الشكل (14.3): يوضح تابعية تدفق النترونات الضوئية للبعد عن مركز الساحة الإشعاعية مقاساً بواسطة كواشف CR-39 لحالة الحزمة الفوتونية 18 MV. يلاحظ من الجدول (8.2) والشكل (14.3) أن تدفق النترونات الضوئية يكون أعظم ما يمكن في مركز الساحة التشيعية (0,0)، لأن غالبية النترونات في هذه النقطة هي نترونات سريعة ثم ينخفض مع الابتعاد عن هذا المركز، وأن منحنيات توزيع تدفق النترونات الضوئية غاوصية الشكل ومتناهية بالنسبة إلى المحور oy. يعطي الجدول (9.2) يم التغيرات النسبية لتدفق النترونات الضوئية في أماكن توضع الكواشف CR - 39 بالنسبة إلى قيمته في مركز الساحة الإشعاعية لحالة الحزمة الفوتونية 18 MV.

الجدول (9.2): التغير النسبي لتدفق النترونات الضوئية في أماكن توضع الكواشف CR - 39 بالنسبة إلى قيمته في مركز الساحة

الإشعاعية لحالة الحزمة الفوتونية 18 MV

المسافة (m)				
$y = +1.0$	$y = +0.5$	$y = 0.0$	$y = -0.5$	$(\Delta\varphi_i/\bar{\varphi}_i) * 100$
-1.98E+02	-1.98E+02	-1.92E+02	-1.97E+02	-1
-1.94E+02	-1.92E+02	-1.32E+02	-1.63E+02	-0.5
-1.89E+02	-1.31E+02	0.00E+00	-1.28E+02	0
-1.93E+02	-1.92E+02	-1.32E+02	-1.92E+02	0.5
-1.98E+02	-1.97E+02	-1.92E+02	-1.96E+02	1

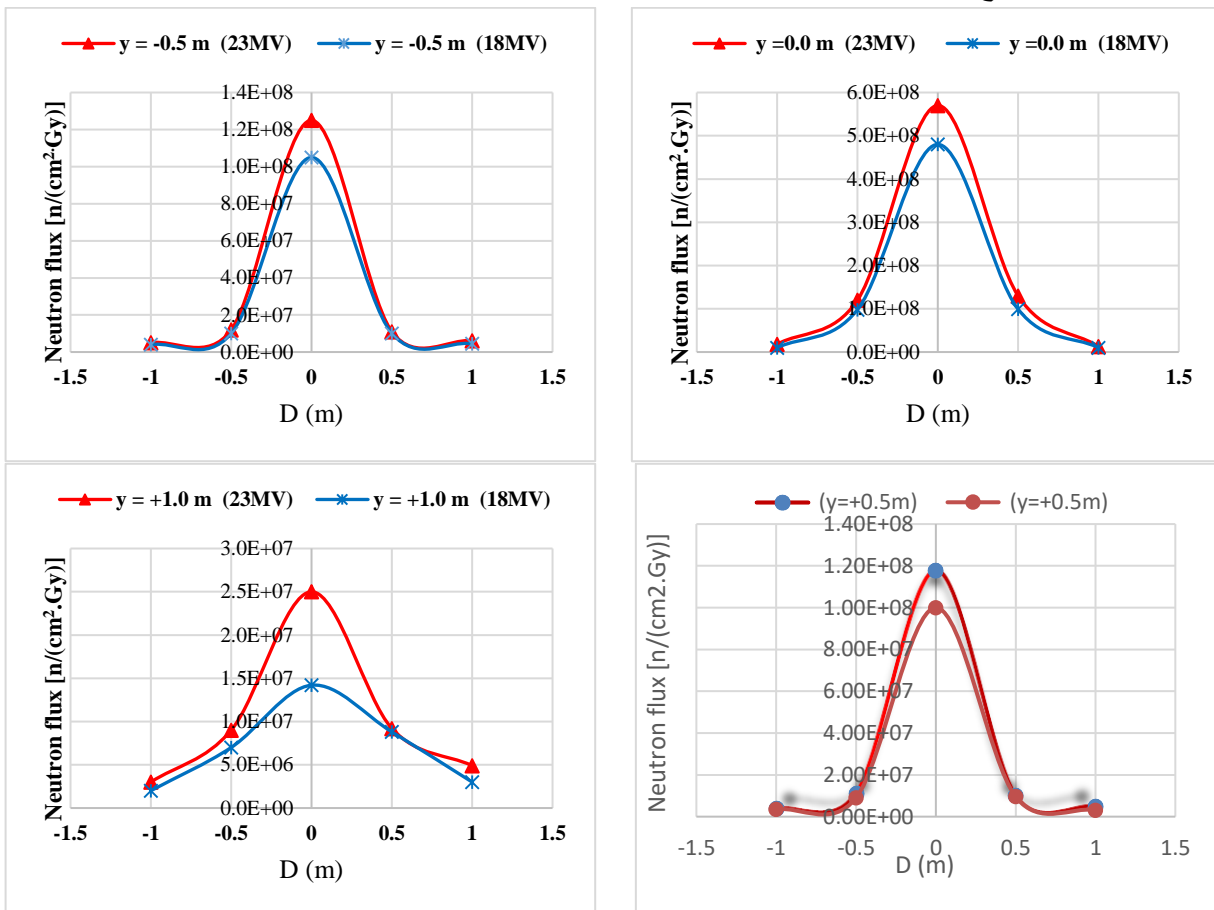
3.7 مقارنة توزيعات تدفق النترونات الضوئية لحالتي الحزمتين الفوتونيتين 23 MV و 18 MV.

يوضح الشكلان 7 و 8 أن تدفق النترونات الضوئية المقاومة بواسطة الكواشف CR - 39 أن هذه التدفقات في حالة الحزمة الفوتونية 23 MV أكبر من مثيلاتها لحالة الحزمة الفوتونية 18 MV، ويعزى السبب في ذلك إلى طاقة الحزمة الفوتونية نفسها 23 MV.

18 MV. وجرى حساب الفرق النسبي المئوي في توزع النترونات الضوئية لحالتى الحزمتين الفوتونيتين 23 MV و 18 MV بواسطة العلاقة التالية:

$$\Delta\varphi = \frac{\varphi_{23MV} - \varphi_{18MV}}{(\varphi_{23MV} + \varphi_{18MV})/2} \times 100 \quad (12)$$

وبيّنت النتائج كما هو موضح بالشكل 14، أن نسبة معدل التدفق النترونی الناتج عن الطاقة 23 MV أعلى من مثيله لحالة الحزمة 18 MV بحسب متفاوتة عند مركز الساحة الإشعاعية تبلغ هذه النسبة 17.14% ويعزى ذلك إلى تغير قيمة طاقة الحزمة نفسها، وعند الموضع  $y = -0.5$  تبلغ النسبة 17.4% نتيجة توضع الكاشف أسفل ذراع المسرع (مسار الإلكترونات). وعند الموضع  $y = +0.5$  تبلغ النسبة 16.5% وعند الموضع  $y = +1$  بلغت النسبة 5.4%.



الشكل (15.3) : يوضح الفرق في توزع التدفق النترونی الناتج عن الطاقة 23 MV والتدفق النترونی الناتج عن الطاقة 18 MV.

#### 4. مناقشة النتائج والإستنتاجات:

جرى في هذا البحث قياس التدفقات النترونية الضوئية لحالة الحزمتين الفوتونيتين 23 MV و 18 MV ضمن غرف مسرعين خطبيين يتوفّران في مستشفى تشرين الجامعي باللاذقية - شعبة المعالجة الإشعاعية باستخدام كواشف الأثر النووي من النوع CR-39 وعدها 40 كاشف، حيث تم وضع هذه الكواشف في موضع مختلفة بشكل عرضي (OX) معامد لطاولة المعالجة وبشكل طولي (OY) موازي لطاولة المعالجة.

تم وضع جميع الكواشف على عوارض خشبية وتم تعريضها للحزمة الفوتونية لمدة زمنية وقدرها  $400 \text{ MU/min}$  وبعد حك الكواشف وعد الآثار بواسطة المجهر الضوئي تبين أن:

1. قيم التدفق النتروني الضوئي في حالة الساحة الإشعاعية  $40 \times 40 \text{ cm}^2$  ولحالة الحزمتين  $23 \text{ MV}$  و  $18 \text{ MV}$  تغير في مجال من رتبة  $(n/cm^2 \cdot Gy)^{10^6}$  إلى  $(n/cm^2 \cdot Gy)^{10^8}$ .
2. تبلغ القيمة العظمى للتدفق النتروني الضوئي في مركز الساحة الإشعاعية (isocenter) وتنقص مع الابتعاد عن هذا المركز.
3. معدل التدفق النتروني الضوئي الموافق للحزمة  $23 \text{ MV}$  أعلى من مثيله لحالة الحزمة  $18 \text{ MV}$  بنسبة 17.14%. في مركز الساحة الإشعاعية.
4. عند مقارنة التدفق النتروني لحالة الحزمة الفوتونية  $MV 23$  في هذا البحث والتي بلغت القيمة  $5.70E+08$  مع العمل المنجز في مستشفى البيروني [18] والتي بلغت قيمتها  $2.50E+07$  تبين النتائج أن شدة الفوتونات انخفضت بسرعة بازدياد المسافة من مركز شعاع الأشعة السينية نحو المحيط للحقول المفتوحة. وهو يتطابق مع العمل المنجز في مشفى تشرين الجامعي في مدينة اللاذقية. - ولحالة الحزمة  $MV 18$  مع العمل المنجز في [19] باستخدام كود MCNP والتي بلغت  $2.50E+12$  ومقارنته مع العمل المنجز في هذا البحث والتي بلغت  $9.80E+07$  بينت النتائج ان شدة النترونات الضوئية في قياسات MCNP تكون أعلى قيمة من العمل التجاري المنجز في هذا البحث لأنه يأخذ جميع أنواع النترونات المتشكلة في غرفة المسرع أما القياسات التجريبية بواسطة كواشف CR-39 تأخذ النترونات السريعة فقط. وتكون عظمى في مركز الساحة الإشعاعية وتتحفظ كلما ابتعدنا عن مركز الساحة الإشعاعية باتجاه الحقول المفتوحة. وتأخذ منحني غاوصي الشكل.

## References:

- [1] A. Jemal, T. Murray, A. Samuels, A. Ghafoor, E. Ward, M.J. Thun, Cancer Statistics. American Cancer Society. **53**: 5-26 (2003)
- [2] F. Biltekin, M. Yener, G. Özvit, Investigating infield and out-of-field neutron contamination in highenergy medical linear accelerators based on the treatment factors of field size, depth, beam modifiers, and beam type. *Physica Medica*. **31**: 517-523 (2015).
- [3] Mesbah A. Dosimetric characteristics of unflattened 6 MV photon beams of a clinical linear accelerator: a Monte Carlo study. *Applied Radiation and Isotopes*. 2007; 65:1029–36.
- [4] Kragl G, af Wetterstedt S, Knäsl B, Lind M, McCavana P, Knöös T, et al. Dosimetric characteristics of 6 and 10MV unflattened photon beams. *Radiother Oncol*. 2009; 93(1):141-6.
- [5] Kragl G, af Wetterstedt S, Knäsl B, Lind M, McCavana P, Knöös T, et al. Dosimetric characteristics of 6 and 10MV unflattened photon beams. *Radiother Oncol*. 2009; 93(1):141-6.
- [6] Jank J, Kragl' G, Georg D. Impact of a flattening filter free linear accelerator on structural shielding design. *Z. Med. Phys.* 2014; 24:38–48.
- [7] Chung JB, Kim JS, Eom KY, Kim IA, Kang SW, Lee JW, et al. Comparison of VMAT-SABR treatment plans with flattening filter (FF) and flattening filter-free (FFF) beam for localized prostate cancer. *Journal of Applied Clinical Medical Physics*. 2015; 16(6):302–13.
- [8] Shirani Tak Abi K, Nedaie HA, Banaee N et al. Step-and-shoot versus compensator-based IMRT: calculation and comparison of integral dose in non-tumoral and target organs in prostate cancer. *Iranian Journal of Medical Physics* 2015;12:1–6.
- [9] B. Juste, S. Morató, R. Miró, G. Verdú, S. Díez, MCNP6 unstructured mesh application to estimate the photoneutron distribution and induced activity inside a linac bunker. *Radiation Physics and Chemistry*. (2016).
- [10] International Commission on Radiological Protection. ICRP Publication 60, Recommendations of the International Commission on Radiological Protection (1990). (<http://www.icrp.org/publication.asp?id=icrp%20publication%2060>)
- [11] R.M. Howell, M.S. Ferenci, Investigation of secondary neutron dose for 18 MV dynamic MLC IMRT delivery. *American Association of Physicists in Medicine* **32**: 786-793 (2005).
- [12] J.P. Lin, W.C. Liu, C.C. Lin CC, Investigation of photoneutron dose equivalent from high-energy photons in radiotherapy. *Applied Radiation and Isotopes*, **65**: 599–604 (2007).
- [13] L. Sajó-Bohus, H.R. Vega-Carrillo, H.S. Virk, SSNTD technique in photo-neutron applications. *Solid State Phenomena*. **239**: 180-214 (2015).
- [14] NCRP. Structural shielding design and evaluation for megavoltage X and gamma-ray radiotherapy facilities: recommendations of the National Council on Radiation Protection and Measurements, volume no. 151. National Council on Radiation Protection and Measurements, Bethesda, MD, 2005. ISBN 0929600878.
- [15] Khan, F. M. *The Physics of Radiation Therapy*. Lippincott Williams and Wilkins, Philadelphia, PA 19106, third edition. (2003).
- [16] Cassou, R. M. and Benton, E. V. (1978). Properties and applications of cr-39 polymeric nuclear track detector. *Nuclear. Track Detection*.
- [17] H. Aigner and M. Silari. 2001. Dissertation Design ‘Calibration and Tests of an Extended-Range Bonner Sphere spectrometer. CERN
- [18] Estimation of photoneutron intensities around radiotherapy linear accelerator 23-MV photon beam.
- [19] Neutron dose calculation at the maze entrance of medical linear accelerator rooms
- [20] MEASUREMENTS OF PHOTO-NEUTRONS FROM A MEDICAL LINEAR ACCELERATOR USING CR-39 PLASTIC NUCLEAR TRACK DETECTORS